

# 水中光無線ネットワークの最適設計に向けて ～ 数理モデル化と理論的解析 ～

井上 文彰<sup>†</sup>, 小玉 崇宏<sup>††</sup>, 木村 共孝<sup>†††</sup>

† 大阪大学 工学研究科

†† 香川大学 創造工学部

††† 同志社大学 理工学部

# 水中無線通信

- 水中通信は非常に幅広いアプリケーションを有する
  - ◆ 資源探査: 海洋資源探査
  - ◆ 環境モニタリング: 海底, 河川, 湖, 湾
  - ◆ 水産業: 養殖業, 漁業
  - ◆ エンターテインメント: 水族館, レジャーダイビング
- 水中無線通信は物理的制約の厳しい挑戦的課題
  - ◆ 陸上とは異なり, 電波伝搬特性が極めて劣悪
- 従来, 水中における無線データ伝送には **音響通信** を利用
  - ✓ 優れた伝搬特性: 数 km 先まで通信可能
  - ✗ 限定的な通信帯域: 伝送レートは高々数百 kbps

# 水中光無線通信

- 高精細かつリアルタイムな水中環境観測への需要の高まり
  - ◆ 高精細センサ群 (LIDAR, ビデオカメラ等) を海底に展開
  - ◆ 水中において大量のトラフィックが生成
    - ➔ 音響通信に基づくシステムでは収容が非現実的
- 近年, 水中光無線通信 技術に関する研究開発が進展
  - ✓ 広帯域通信: 数百 Mbps ~ 十 Gbps 程度に及ぶ伝送容量
  - ✗ 限定的な伝搬距離:
    - (i) 通信可能距離は高々数百メートル
    - (ii) 通信距離によって伝送容量は大幅に変化

# 水中光無線の伝送路特性

$d$ : 送受信者間の距離

- 信号対雑音比 (SNR) は  $d^{-\alpha} e^{-Kd}$  に比例して減衰[1,2]
  - ◆  $d^{-\alpha}$ : 光の空間的拡散によるエネルギー減衰
    - しばしば, 球面状の拡散  $\alpha = 2$  を想定
  - ◆  $e^{-Kd}$ : 水中での光の吸収・散乱によるエネルギー減衰
    - $K$  は水質や光の波長に大きく依存
    - 遠距離通信を困難にする主要因

# 水中光無線の伝送路特性

$d$ : 送受信者間の距離

- 信号対雑音比 (SNR) は  $d^{-\alpha} e^{-Kd}$  に比例して減衰[1,2]

- ◆  $d^{-\alpha}$ : 光の空間的拡散によるエネルギー減衰

- しばしば, 球面状の拡散  $\alpha = 2$  を想定

- ◆  $e^{-Kd}$ : 水中での光の吸収・散乱によるエネルギー減衰

- $K$  は水質や光の波長に大きく依存
- 遠距離通信を困難にする主要因

➡ 距離  $d$  が大きくなるにつれて 伝送路容量は急激に減少

# 水中光無線の伝送路特性

$d$ : 送受信者間の距離

- 信号対雑音比 (SNR) は  $d^{-\alpha} e^{-Kd}$  に比例して減衰[1,2]

- ◆  $d^{-\alpha}$ : 光の空間的拡散によるエネルギー減衰

- しばしば, 球面状の拡散  $\alpha = 2$  を想定

- ◆  $e^{-Kd}$ : 水中での光の吸収・散乱によるエネルギー減衰

- $K$  は水質や光の波長に大きく依存
- 遠距離通信を困難にする主要因

➡ 距離  $d$  が大きくなるにつれて 伝送路容量は急激に減少

- 水中光無線の実用化に向けては,  
リレー端末群からなるネットワークの構築が不可欠

# 水中におけるリレー端末配置問題

- 音響ネットワーク

- ◆ 周波数選択とリレー端末配置の同時最適化[3]

- 適切な周波数が選ばれていれば 定間隔配置が最適

- ◆ 最適ホップ数や変調パラメータの最適化[4]

- 定間隔配置を仮定した下で議論

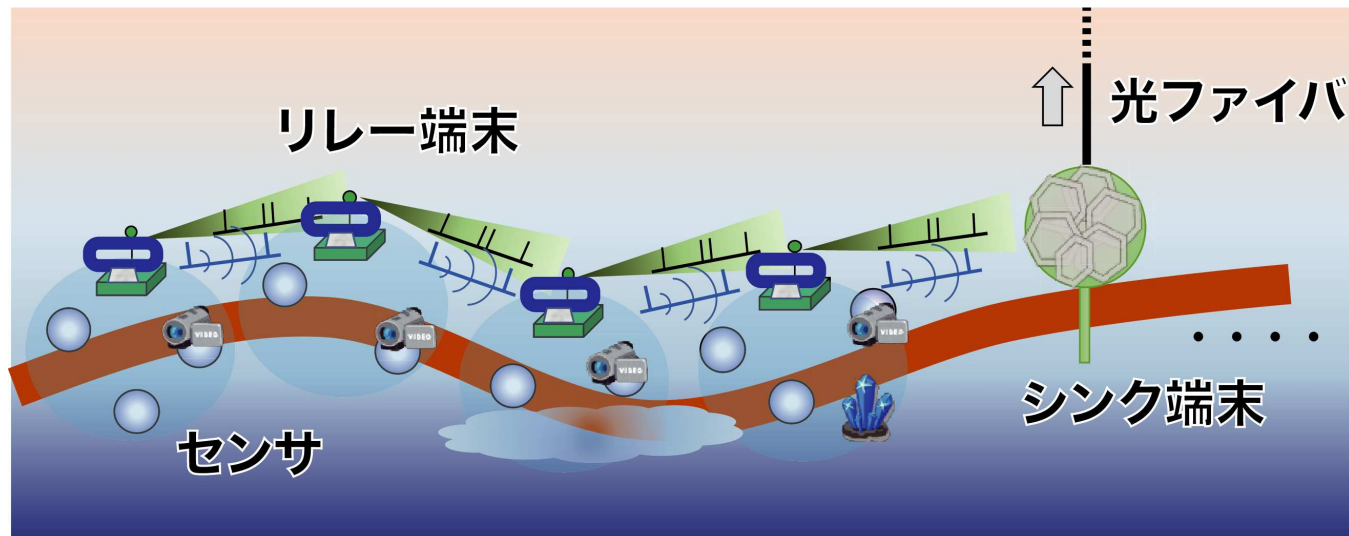
- 光無線ネットワーク

- ◆ 位置推定 (Localization) の精度に焦点を当てた研究[5]

- ◆ 主に, 垂直方向 (海底から水面) のデータリレーを想定

# 海底光無線ネットワーク

- 鉛直方向のネットワーク構成は、**深海環境の観測には不向き**
  - ◆ 深海から地上基地局までの長距離ネットワークが必要
  - ◆ **極めて多数の中継 AUV** の配備が不可欠
- 本研究では、**深海環境** からのデータ収集 (下図) を想定



- 以降では、これを **海底光無線ネットワーク** と呼ぶ

# 本研究の動機

リレー端末配置 は海底光無線ネットワークの性能に大きく影響

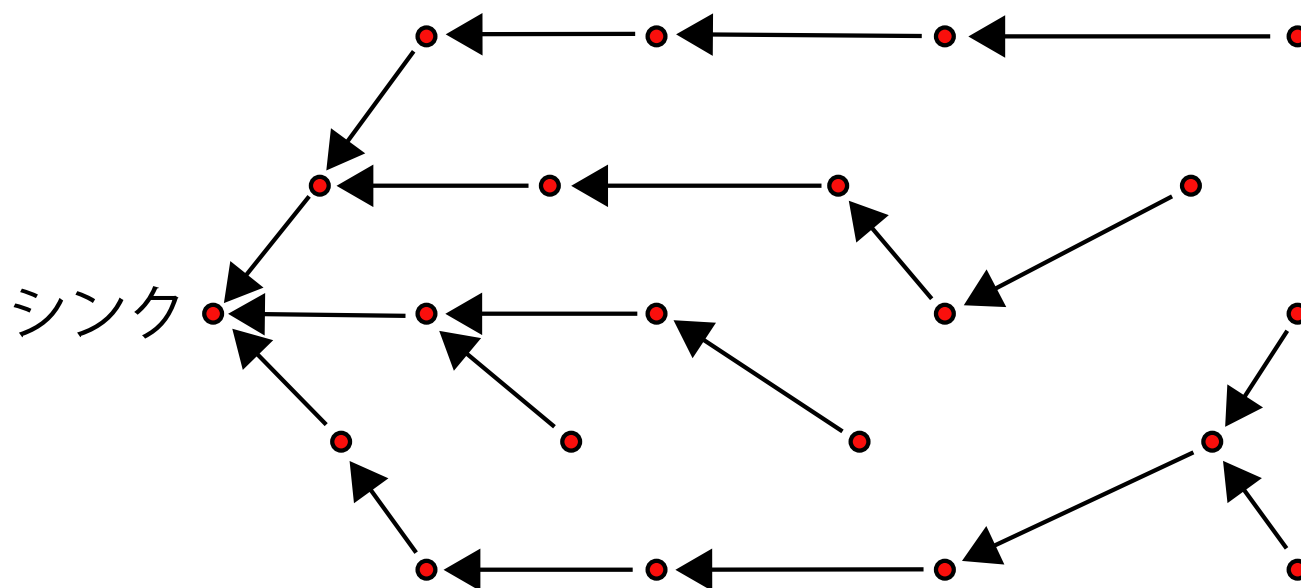
- 送受信間距離  $d$  が大きくなるにつれて伝送路容量は急激に減少
- 一方, シンク端末付近のリンクには 中継トラヒックが集中
  - ◆ 各リンクの伝送路容量が等しい場合, ボトルネックとなる
- シンクに近いほどリレー端末間隔を短くするのが合理的

各リレー端末は, 自身が直接被覆する領域に加え,  
上流領域の中継トラヒックを転送する必要がある



# ネットワークトポロジ

- 海底におけるデータ収集を想定
  - ◆ シンクを根とする **木構造** が基本形



- 木構造のネットワークは複数の線分から構成
  - ◆ 以下では初期検討として、1次元ネットワークを考察

# 本研究の概要

## 1次元 海底光無線ネットワークにおけるリレー端末の最適配置を考察

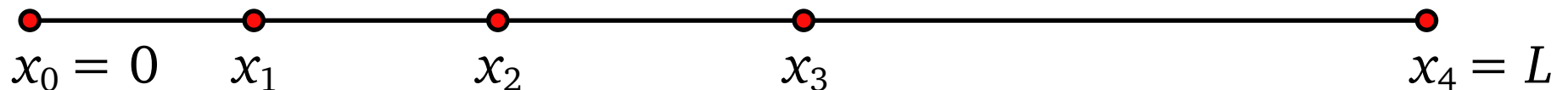
- リレー端末の最適配置問題を定式化
  - ◆ システムを待ち行列ネットワークとしてモデル化
  - ◆ 安定領域の最大化を目的とする最適化問題を導入
- 最適配置問題に対する大域的最適化法を考察
  - ◆ 後述するように、この問題は非凸制約を有する
    - ➡ 大域的最適化は一般には容易でない
  - ◆ 1次元ネットワークでは大域的最適解が求まることを証明
- さらに、数値例を通じて最適解の有用性を示す

# 最適配置問題の定式化

# モデル (1)

- 1 台のシンク端末 と,  $N$  台のリレー端末 が存在
  - ◆  $\mathcal{N} := \{1, 2, \dots, N\}$ : リレー端末の集合
  - ◆ シンク端末を 0 番目の端末 と呼ぶ
- $x_n$  ( $n = 0, 1, \dots, N$ ):  $n$  番目の端末の位置
  - ◆  $0 \leq x_n \leq x_{n+1}$
  - ◆ シンク端末の位置を  $x_0 = 0$  とする
- 長さ  $L$  の領域  $\mathcal{L} := [0, L)$  をリレー端末が被覆  $\Rightarrow x_N = L$  とする

$N = 4$  の例



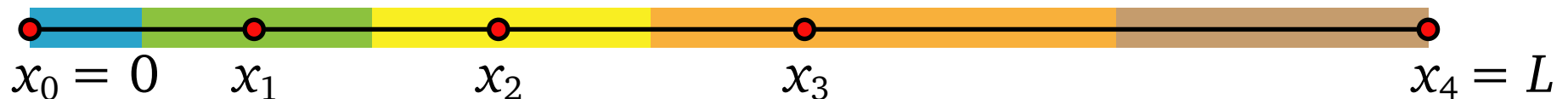
## モデル (2)

- データパケットの発生時点は 一般の定常点過程 に従う
  - ◆ 発生位置は  $\mathcal{L} = [0, L)$  上で一様に分布
- 各パケットは 発生位置から最も近い端末 に伝送される
  - ◆  $n$  番目の端末の被覆範囲  $C_n := [a_n, b_n)$

$$a_0 = 0, \quad a_n = \frac{x_{n-1} + x_n}{2}, \quad n = 1, 2, \dots, N$$

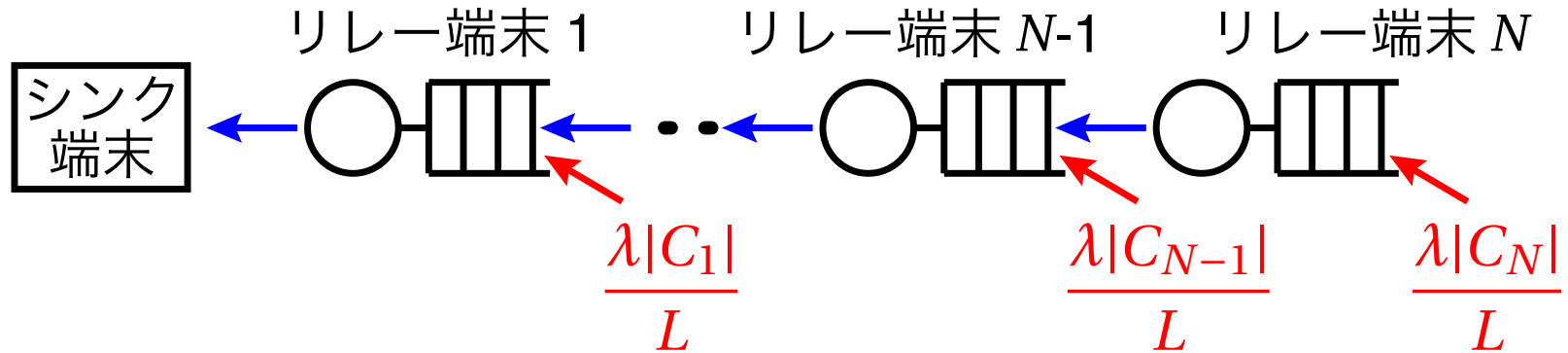
$$b_N = x_N, \quad b_n = a_{n+1}, \quad n = 0, 1, \dots, N-1$$

$N = 4$  の例



# モデル (3)

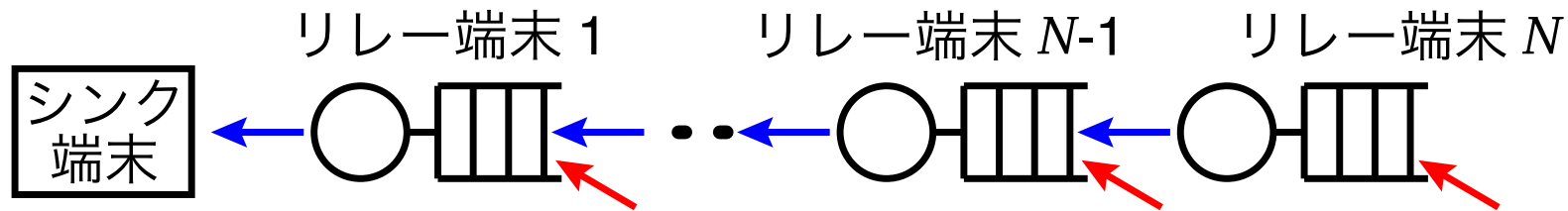
- このとき、システムは G/G/1 待ち行列ネットワークで表現される



- ◆  $\lambda$ : 単位時間当たりのパケットの発生数
  - ◆  $|C_n|$ : 端末  $n$  の被覆領域長 ( $= b_n - a_n$ )
- $B$ : パケットの平均データサイズ
  - $\rho_n$ : リレー 端末  $n$  への外部到着のトラヒック強度

$$\rho_n := \frac{\lambda|C_n|}{L} \cdot B$$

# 安定条件



- $\rho_n$ : リレー 端末  $n$  への外部到着のトラヒック強度

$$\rho_n := \frac{\lambda |C_n|}{L} \cdot B = \frac{\lambda B}{L} \cdot |C_n| = q \cdot |C_n|$$

- $q$ : 領域長で正規化された, 単位時間当たり発生データ量
- このシステムの安定条件は次式で与えられる

$$\sum_{n=i}^N \rho_n < R(x_i - x_{i-1}), \quad i = 1, 2, \dots, N$$

$R(d)$ : 端末間距離  $d$  における伝送路容量

# 伝送路容量 $R(d)$

- SNR( $d$ ): 端末間距離  $d$  における SNR

$$\text{SNR}(d) = \frac{Ae^{-Kd}}{(\epsilon + d)^\alpha}$$

$A > 0, K > 0, \alpha > 0$  は物理的特性  
から定まるパラメータ

$\epsilon$ : 原点  $d = 0$  における特異な挙動を避けるための小さな定数

# 伝送路容量 $R(d)$

- SNR( $d$ ): 端末間距離  $d$  における SNR

$$\text{SNR}(d) = \frac{Ae^{-Kd}}{(\epsilon + d)^\alpha}$$

$A > 0, K > 0, \alpha > 0$  は物理的特性から定まるパラメータ

- 伝送路容量  $R(d)$  は次式で与えられる

$$R(d) = W \log(1 + \text{SNR}(d))$$

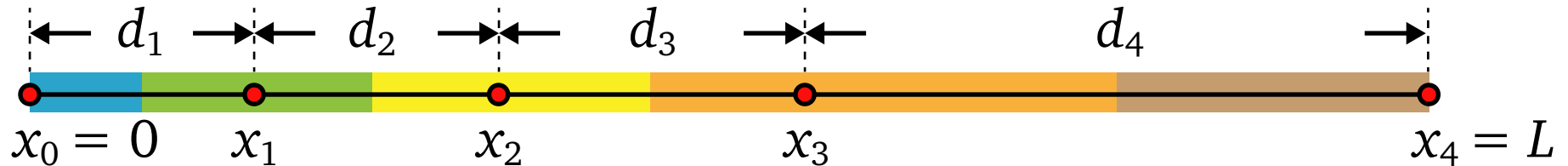
- しかし、以下では  $R(d)$  に具体的な関数形を仮定しない

◆ 代わりに、 $R(d)$  の性質として次の仮定のみを置く

- (i) 狭義単調減少
- (ii) 連続的微分可能かつ凸関数
- (iii)  $\lim_{d \rightarrow \infty} R(d) = 0$

# ここまでのまとめ

- リレー端末の配置によって被覆範囲が変化



- リレー端末  $i$  が単位時間あたりに中継するデータ量

$$q \left( \frac{d_i}{2} + \sum_{n=i+1}^N d_n \right)$$

- ◆  $q$ : 領域長で正規化された, 単位時間あたり発生データ量

- システムの安定条件 ( $R(d)$ : 距離  $d$  における伝送路容量)

$$q \left( \frac{d_i}{2} + \sum_{n=i+1}^N d_n \right) < R(d_i), \quad i = 1, 2, \dots, N$$

# システムの安定領域

$q$ : 領域長で正規化された, 単位時間当たり発生データ量 (負荷)

$d_i$ : 端末  $i$  と  $i+1$  の間隔

- システムの安定条件

$$\frac{qd_i}{2} + q \sum_{n=i+1}^N d_n < R(d_i), \quad i = 1, 2, \dots, N$$

- 上式を満たす **負荷  $q$  の上限値** が安定領域の大きさを決める

$$q_{\text{sup}}(\mathbf{d}) := \max \left\{ q \in \mathbb{R}^+ \mid \sum_{n=i}^N \frac{qd_i}{2} + q \sum_{n=i+1}^N d_n \leq R(d_i), i \in \mathcal{N} \right\}$$

- ➡ 本研究では,  **$q_{\text{sup}}(\mathbf{d})$  を最大化** する問題を考える

# 最適配置問題

- 安定領域の最大化を目的とするリレー端末配置問題

$$\text{maximize } q$$
$$q \in \mathbb{R}, \mathbf{d} \in \mathbb{R}^N$$

$$\text{s.t. } R(d_i) - \frac{q d_i}{2} - \sum_{n=i+1}^N q d_n \geq 0, \quad i \in \{1, 2, \dots, N\}$$

$$q \geq 0, \quad \sum_{i=1}^N d_i = L, \quad d_i \geq 0, \quad i \in \{1, 2, \dots, N\}$$

- 固定した  $q$  に対し，実行可能領域は凸集合の補集合に等しい

➡ この問題は非凸最適化問題に属する

- 非凸最適化問題の大域的最適化は一般には容易でない

- この問題特有の構造を利用すると，大域的最適解が求まる

# 大域的最適化法

# 部分問題の導入

$$\text{maximize } q$$
$$q \in \mathbb{R}, \mathbf{d} \in \mathbb{R}^N$$

$$\text{s.t. } R(d_i) - \frac{qd_i}{2} - \sum_{n=i+1}^N qd_n \geq 0, \quad i \in \{1, 2, \dots, N\}$$

$$q \geq 0, \quad \sum_{i=1}^N d_i = L, \quad d_i \geq 0, \quad i \in \{1, 2, \dots, N\}$$

- $q > 0$  に対し, 下記の部分問題 ( $S_q$ ) を導入

$$\text{maximize } \sum_{n=1}^N d_n$$
$$\mathbf{d} \in \mathbb{R}^N$$

$$\text{s.t. } R(d_i) - \frac{qd_i}{2} - \sum_{n=i+1}^N qd_n \geq 0, \quad d_i \geq 0, \quad i \in \{1, 2, \dots, N\}$$

- ◆ 固定された負荷  $q$  に対し, 被覆領域長を最大化

# 部分問題 $S_q$

$$\begin{aligned} & \underset{\mathbf{d} \in \mathbb{R}^N}{\text{maximize}} && \sum_{n=1}^N d_n \\ & \text{s.t.} && R(d_i) - \frac{qd_i}{2} - \sum_{n=i+1}^N qd_n \geq 0, \quad d_i \geq 0, \quad i \in \{1, 2, \dots, N\} \end{aligned}$$

- $(S_q)$  の実行可能領域は凸集合の補集合
  - ➡ この問題は 逆凸計画問題 に属する

# 部分問題 $S_q$

$$\text{maximize}_{\mathbf{d} \in \mathbb{R}^N} \sum_{n=1}^N d_n$$

$$\text{s.t. } R(d_i) - \frac{qd_i}{2} - \sum_{n=i+1}^N qd_n \geq 0, \quad d_i \geq 0, \quad i \in \{1, 2, \dots, N\}$$

- $(S_q)$  の実行可能領域は凸集合の補集合
  - ➡ この問題は **逆凸計画問題** に属する
- $N$  変数の逆凸計画問題
  - ◆ 制約条件のうち  $N$  個を等号で満たす最適解が存在 [6]

# 部分問題 $S_q$

$$\text{maximize}_{\mathbf{d} \in \mathbb{R}^N} \sum_{n=1}^N d_n$$

$$\text{s.t. } R(d_i) - \frac{qd_i}{2} - \sum_{n=i+1}^N qd_n \geq 0, \quad d_i \geq 0, \quad i \in \{1, 2, \dots, N\}$$

- $(S_q)$  の実行可能領域は凸集合の補集合
  - ➡ この問題は **逆凸計画問題** に属する
- $N$  変数の逆凸計画問題
  - ◆ 制約条件のうち  $N$  個を等号で満たす最適解が存在 [6]
- $(S_q)$  の制約条件は全部で  $2N$  個 (うち  $N$  個は  $d_i = 0$  という形)

# 部分問題の最適解

部分問題  $S_q$  の最適解は下記で陽に求められる

●  $g_q(x) := \frac{R(x)}{q} - \frac{x}{2}$  とおく

(i)  $g_q^{-1}(0) \geq g_q(0)$  のとき,

$\mathbf{d} = (0, 0, \dots, 0, g_q^{-1}(0))^{\top}$  は  $(S_q)$  の大域的最適解

(ii)  $g_q^{-1}(0) < g_q(0)$  とき,

$\mathbf{d} = (d_1^*, d_2^*, \dots, d_N^*)^{\top}$  は  $(S_q)$  の大域的最適解

ただし,  $d_N^* = g_q^{-1}(0)$ ,  $d_i^* = g_q^{-1}\left(\sum_{n=i+1}^N d_n^*\right)$ ,  $i = 1, 2, \dots, N-1$

# 部分問題と原問題の関係

$d_q^*$ : 部分問題 ( $S_q$ ) の最適解,  $x_q^*$ : 最大被覆距離 ( $d_q^*$  の要素和)

- 以下が成立することが示せる

(a)  $x_q^*$  は  $q$  に関して連続かつ狭義単調減少であり,

$$\lim_{q \rightarrow 0^+} x_q^* = \infty, \quad \lim_{q \rightarrow \infty} x_q^* = 0$$

- ◆ 負荷  $q$  が小さいほど被覆可能距離は大きい

# 部分問題と原問題の関係

$d_q^*$ : 部分問題 ( $S_q$ ) の最適解,  $x_q^*$ : 最大被覆距離 ( $d_q^*$  の要素和)

● 以下が成立することが示せる

(a)  $x_q^*$  は  $q$  に関して連続かつ狭義単調減少であり,

$$\lim_{q \rightarrow 0^+} x_q^* = \infty, \quad \lim_{q \rightarrow \infty} x_q^* = 0$$

(b) 原問題の最適値  $q_{\text{sup}}^*$  は次式で特徴付けられる.

$$x_q^* > L \Leftrightarrow q < q_{\text{sup}}^*, \quad x_q^* < L \Leftrightarrow q > q_{\text{sup}}^*, \quad x_q^* = L \Leftrightarrow q = q_{\text{sup}}^*$$

# 部分問題と原問題の関係

$d_q^*$ : 部分問題 ( $S_q$ ) の最適解,  $x_q^*$ : 最大被覆距離 ( $d_q^*$  の要素和)

- 以下が成立することが示せる

(a)  $x_q^*$  は  $q$  に関して連続かつ狭義単調減少であり,

$$\lim_{q \rightarrow 0^+} x_q^* = \infty, \quad \lim_{q \rightarrow \infty} x_q^* = 0$$

(b) 原問題の最適値  $q_{\text{sup}}^*$  は次式で特徴付けられる.

$$x_q^* > L \Leftrightarrow q < q_{\text{sup}}^*, \quad x_q^* < L \Leftrightarrow q > q_{\text{sup}}^*, \quad x_q^* = L \Leftrightarrow q = q_{\text{sup}}^*$$

- $(q_{\text{sup}}^*, d_{q_{\text{sup}}^*}^*)$  は原問題の大域的最適解 となる

➡ 原問題の最適解は, 二分法で容易に求まる

# 部分問題の最適解 (再掲)

部分問題  $S_q$  の最適解は下記で陽に求められる

●  $g_q(x) := \frac{R(x)}{q} - \frac{x}{2}$  とおく

(i)  $g_q^{-1}(0) \geq g_q(0)$  のとき,

$\mathbf{d} = (0, 0, \dots, 0, g_q^{-1}(0))^{\top}$  は  $(S_q)$  の大域的最適解

(ii)  $g_q^{-1}(0) < g_q(0)$  とき,

$\mathbf{d} = (d_1^*, d_2^*, \dots, d_N^*)^{\top}$  は  $(S_q)$  の大域的最適解

ただし,  $d_N^* = g_q^{-1}(0)$ ,  $d_i^* = g_q^{-1}\left(\sum_{n=i+1}^N d_n^*\right)$ ,  $i = 1, 2, \dots, N-1$

# 大域的最適解の性質 (1)

- $q_0$  を次の方程式の唯一解とする

$$R\left(\frac{R(0)}{q}\right) - \frac{R(0)}{2} = 0, \quad q > 0.$$

- $L_0 := g_{q_0}^{-1}(0)$  とおくと, 以下が成立

(i)  $\forall L \leq L_0$  に対し,  $g_{q_{\text{sup}}^*(L)}^{-1}(0) \geq g_{q_{\text{sup}}^*(L)}(0)$ ,

(ii)  $\forall L > L_0$  に対し,  $g_{q_{\text{sup}}^*(L)}^{-1}(0) < g_{q_{\text{sup}}^*(L)}(0)$ ,

➡ 領域長が閾値  $L_0$  より大きいとき, 最適配置間隔は

$$d_N^* = g_{q_{\text{sup}}^*}^{-1}(0), \quad d_i^* = g_{q_{\text{sup}}^*}^{-1}\left(\sum_{n=i+1}^N d_n^*\right), \quad i = 1, 2, \dots, N-1$$

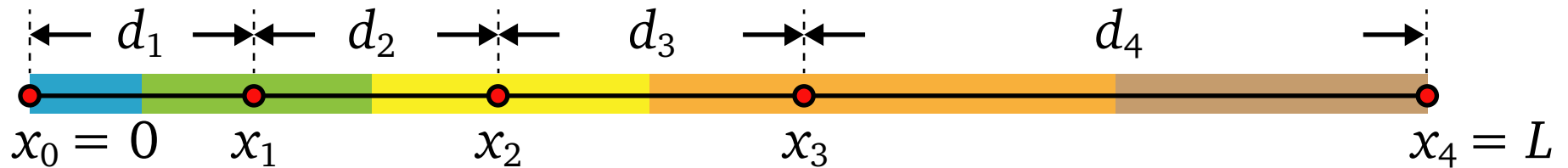
# 大域的最適解の性質 (2)

以下では, 領域長  $L > L_0$  を仮定

- 最適配置間隔は

$$d_N^* = g_{q_{\text{sup}}}^{-1}(0), \quad d_i^* = g_{q_{\text{sup}}}^{-1}\left(\sum_{n=i+1}^N d_n^*\right), \quad i = 1, 2, \dots, N-1$$

- ◆ 末端 (シンクの最遠ノード) から順に間隔が決まっていく



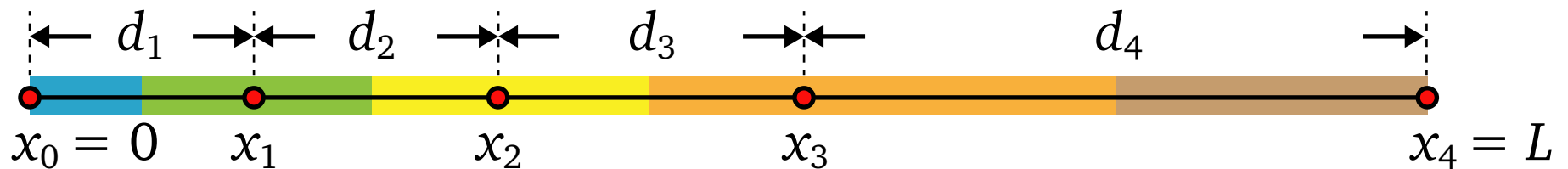
# 大域的最適解の性質 (2)

以下では、領域長  $L > L_0$  を仮定

- 最適配置間隔は

$$d_N^* = g_{q_{\text{sup}}}^{-1}(0), \quad d_i^* = g_{q_{\text{sup}}}^{-1}\left(\sum_{n=i+1}^N d_n^*\right), \quad i = 1, 2, \dots, N-1$$

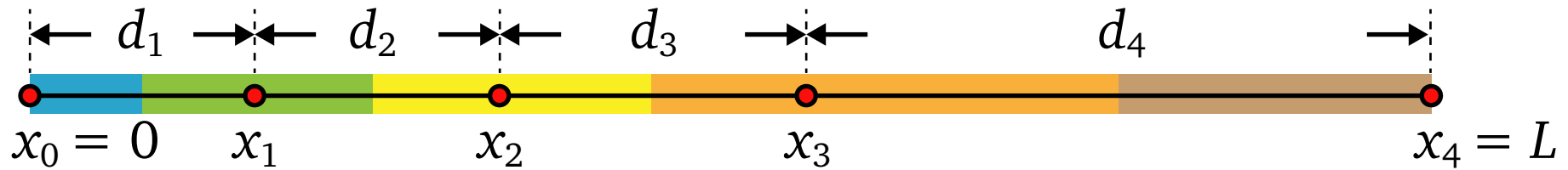
- ◆ 末端 (シンクの最遠ノード) から順に間隔が決まっていく



- さらに上式より,  $0 < d_i^* < d_{i+1}^*$  が示せる

➡ シンクに近いほど配置間隔を短くするのが最適

# 大域的最適解の性質 (3)



●  $\gamma := 1 + 1/g'_q(0)$  とおく

●  $0 < \gamma < 1$  であり, 以下が成立

◆  $(g_q^{-1})'(0) > -1$  ならば

$$d_i^* \leq \gamma^{N-i} d_N^*, \quad i = 1, 2, \dots, N-1$$

◆  $(g^{-1})'(0) \leq -1$  ならば

$$d_i^* \leq \gamma^{N-i-1} d_{N-1}^*, \quad i = 1, 2, \dots, N-2$$

➡ 末端からシンクに向かって, 最適間隔は指数関数より急激に減少

# 数值評価

# モデルパラメータ

- 伝送容量関数  $R(d)$

$$R(d) = W \log(1 + \text{SNR}(d))$$

$$\text{SNR}(d) = \frac{P_t D^2 \cos \varphi}{4(\tan^2 \theta) P_n} \cdot \frac{e^{-Kr}}{(\epsilon + r)^2}$$

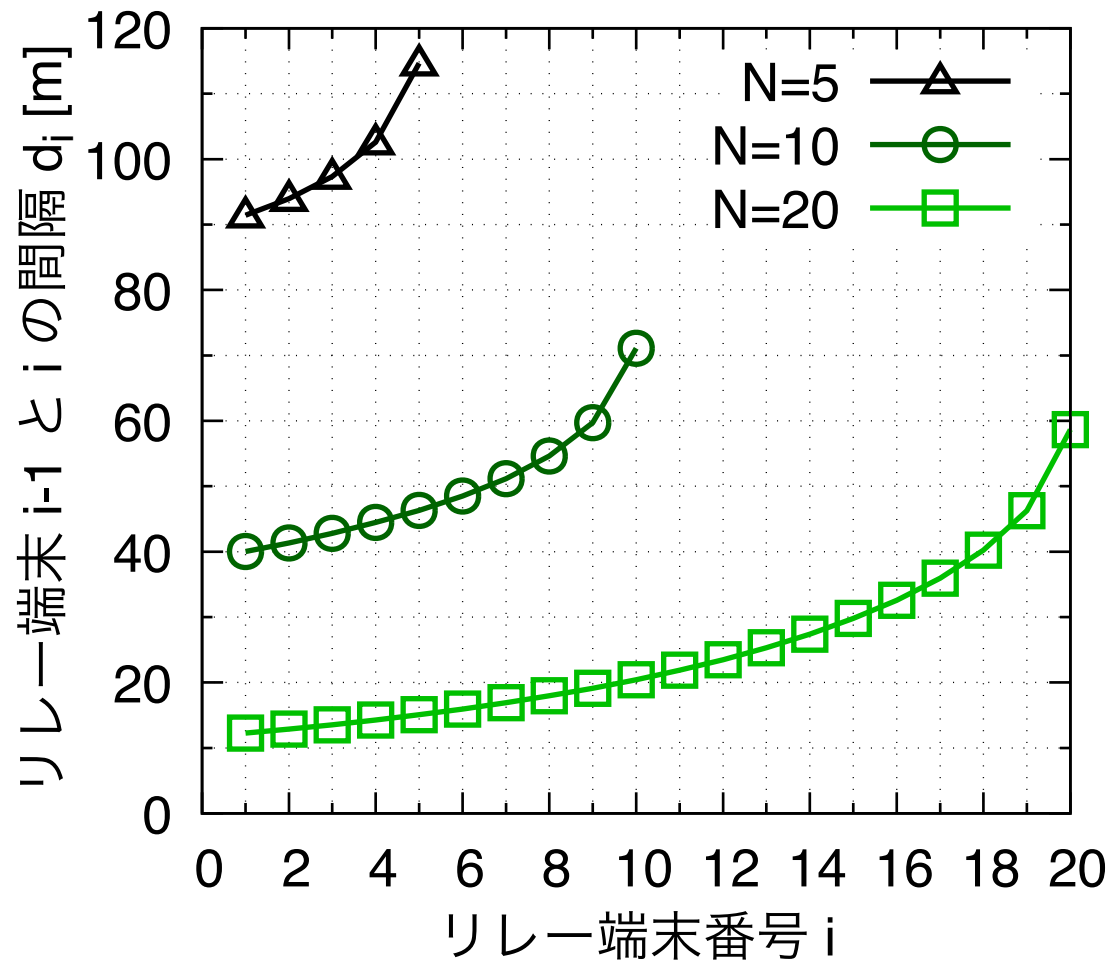
- 波長による減衰係数  $K$  の違いを考慮

- ◆ 純水に近い水質における  
赤色光, 緑色光, 青色光の値を使用

記号	単位	値
$P_t$	W	0.5
$P_n$	W	$2 \times 10^{-6}$
$D$	m	0.2
$\varphi$	度	10
$\theta$	度	10
$W$	Hz	$5 \times 10^8$
$K$	1/m	赤色光: $3 \times 10^{-1}$ 緑色光: $7 \times 10^{-2}$ 青色光: $2 \times 10^{-2}$
$\epsilon$	m	1

# 最適配置間隔 (緑色光)

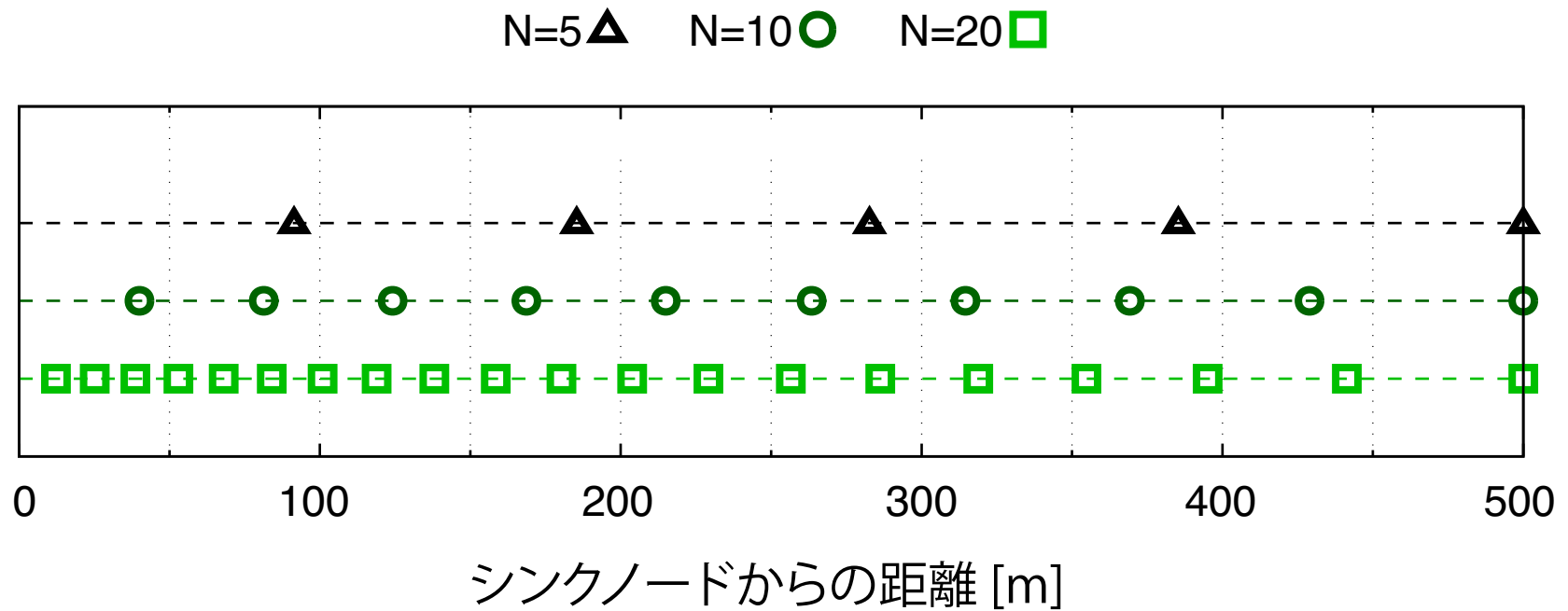
緑色光の場合における最適配置間隔



- シンク端末から離れるに従って配置間隔が増加
- シンクに最も近い端末と遠い端末とでは大きな差

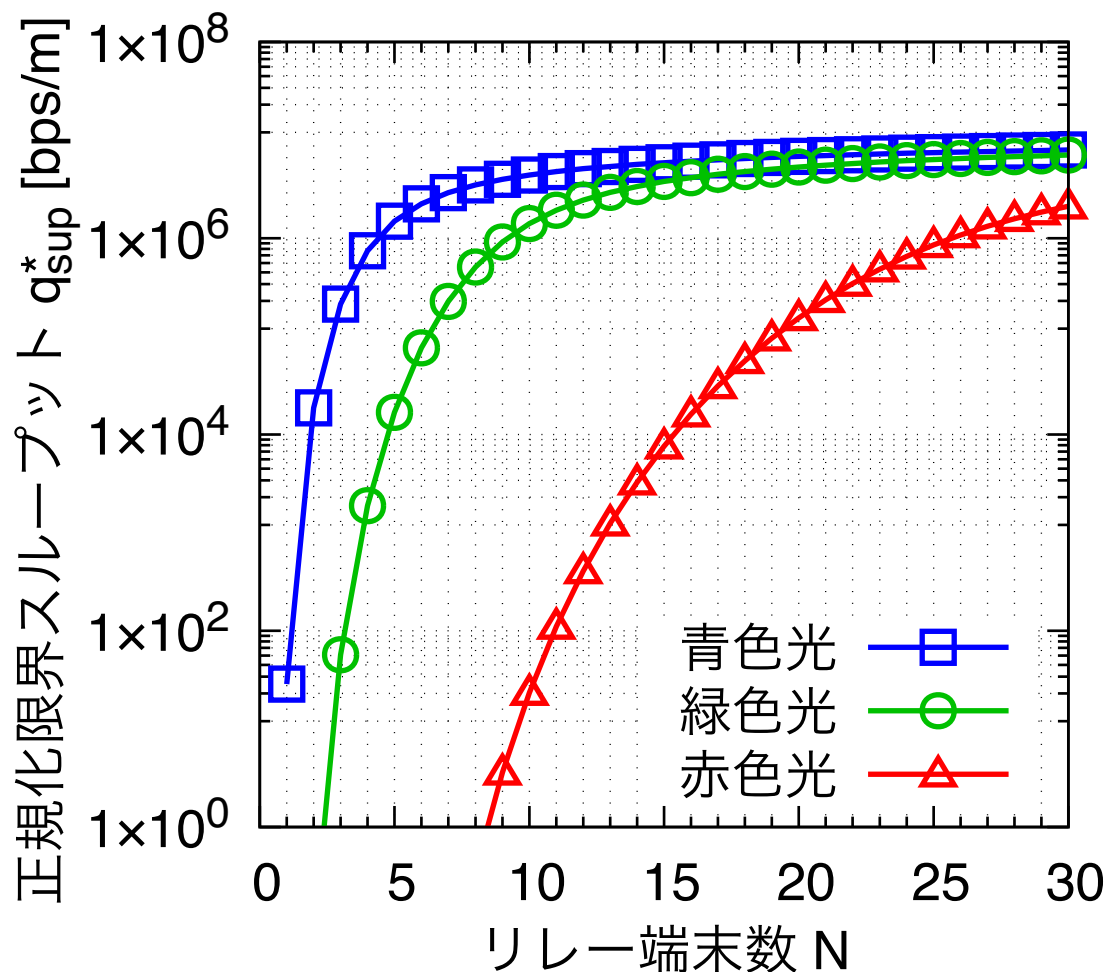
# 最適配置間隔 (緑色光)

緑色光の場合における最適配置



# リレー端末数が $q_{\text{sup}}^*$ に与える影響

$q_{\text{sup}}^*$ : 最大スループットを領域長で正規化した量



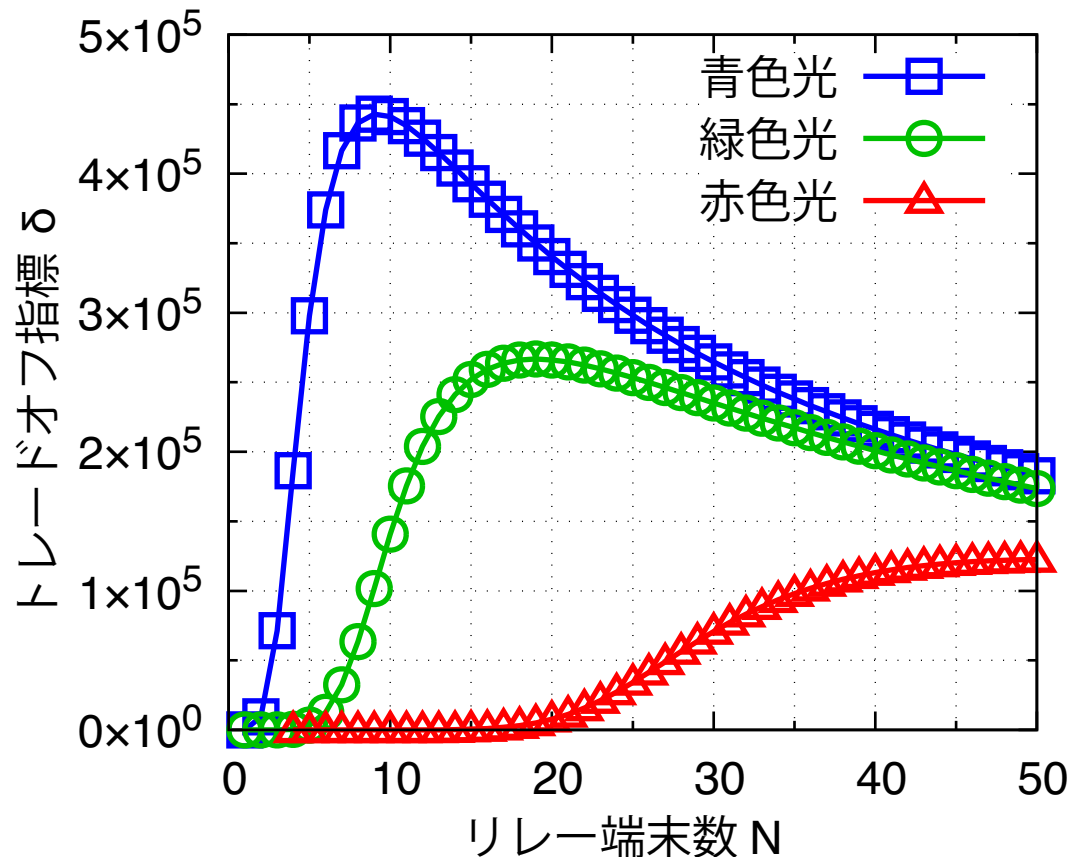
- リレー端末の追加により、安定領域は大幅に増大
- リレー端末数が増えるにつれて性能改善幅は減少

# トレードオフ指標

- 適切なリレー端末数  $N$  を考察したい

◆ **トレードオフ指標  $\delta := q_{\text{sup}}/N$  を導入**

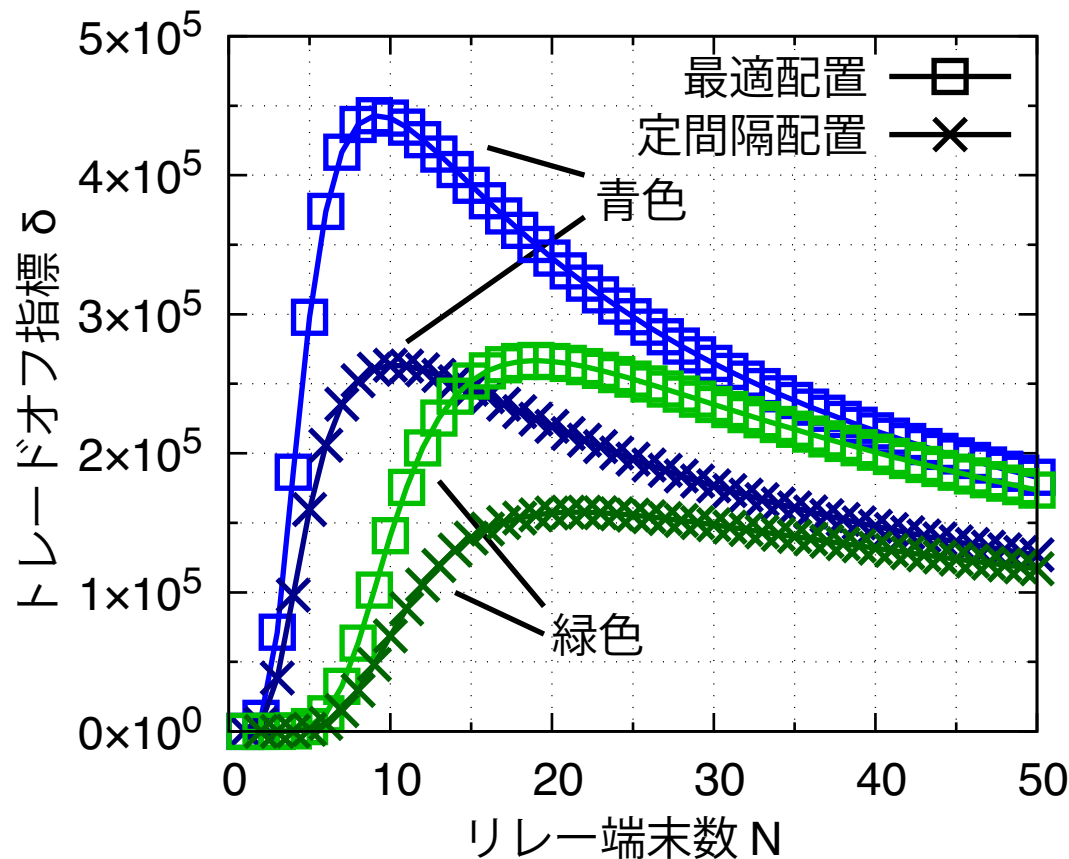
(リレー端末 1 台当たりの, 収容可能トラフィック量に相当)



- 縦軸がリニアスケールであることに注意
- 適切なリレー端末数は波長 (吸収率) に依存

# 定間隔配置と最適配置の性能比較

トレードオフ指標  $\delta = q_{\text{sup}}/N$



- 最適配置を用いることでシステム性能は大きく向上
- リレー端末数が過剰な領域
  - ◆ 定間隔との差は減少
  - ◆ 最適配置での性能が飽和することによる

# まとめ

## 海底光無線ネットワークにおけるリレー端末配置を考察

- 1次元のリレー端末配置問題を定式化して解析
  - ◆ 待ち行列ネットワークとしてモデル化
  - ◆ 安定領域の最大化を目的とする最適化問題を考察
  - ◆ 大域的最適解を導出し、その性質を議論
- 本講演は以下の論文の内容に基づく

Y. Inoue, T. Kodama, and T. Kimura,  
“Global Optimization of Relay Placement for Seafloor Optical Wireless Networks,”  
IEEE Trans. Wireless Commun., vol. 20, no. 3, pp. 1801-1815, 2021.

  - ◆ 論文中ではさらに、2次元ネットワークへの拡張も議論
- 今後の課題: より複雑なトポロジ・チャネルモデルの考慮,  
センサ配置の最適化, ランダムネスへの対処…など

# 参考文献

- [1] J. W. Giles and I. N. Bankman, “Underwater optical communications systems. Part 2: basic design considerations,” Proc. IEEE MILCOM 2005, pp. 1700–1705, 2005.
- [2] M. Doniec, et al., “An end-to-end signal strength model for underwater optical communications,” IEEE J. Ocean. Eng., vol. 38, no. 4, pp. 743–757, 2013.
- [3] C. Kam, S. Kompella, G. D. Nguyen, A. Ephremides, and Z. Jiang, “Frequency selection and relay placement for energy efficiency in underwater acoustic networks,” IEEE J. of Ocean. Eng., vol. 39, no. 2, pp. 331–342, 2014.
- [4] F. A. de Souza, et al., “Optimizing the number of hops and retransmissions for energy efficient multi-hop underwater acoustic communications,” IEEE Sens. J., vol. 16, no. 10, pp. 3927–3938, 2016.
- [5] N. Saeed, T. Y. Al-Naffouri et al., “Outlier detection and optimal anchor placement for 3-D underwater optical wireless sensor network localization,” IEEE Trans. Commun., vol. 67, no. 1, pp. 611–622, 2019.
- [6] R. J. Hillestad and S. E. Jacobsen, “Reverse convex programming,” Appl. Math. Optim., vol. 6, pp. 63–78, 1980.